

Esercizio 50 — Una trave continua a due campane di luce $l_1 = 4m$ e $l_2 = 3m$, è gravata alla mezzeria di ciascuna campana da un carico concentrato $P = 4t$. Costruire i diagrammi del momento flettente e del taglio nell'ipotesi che gli appoggi siano rigidi.

—♦—

Si ricorda che una trave continua è tante volte iperstatica per quanti sono gli appoggi intermedi se è appoggiata semplicemente agli estremi, altrettante volte più una o più due se è invece incastrata in corrispondenza di uno di questi o di ambedue.

Nel caso nostro si ha dunque una sola incognita iperstatica; come tale potremmo assumere o la reazione di uno degli appoggi, o il momento M_C sull'appoggio intermedio; in tal caso ci possiamo valere dell'*equazione dei tre momenti*, che nell'ipotesi qui supposta della trave a momento di inerzia costante in tutte le campane, per l'appoggio *m^{imo}* intermedio generico si scrive:

$$(89) \quad M_{m-1} l_m + 2 M_m (l_m + l_{m+1}) + M_{m+1} l_{m+1} = -6(B^*_{m-1} + A^*_{m+1}) + \\ + 6EI \left(\frac{\gamma_m - \gamma_{m-1}}{l_m} - \frac{\gamma_{m+1} - \gamma_m}{l_{m+1}} \right).$$

Si ricorda anche in linea schematica come si percorre a questa equazione.

Immaginando di tagliare materialmente la trave in corrispondenza dei singoli appoggi, la successione di travi semplici che così si ottiene equivale al sistema continuo primitivo, a condizione di applicare alle estremità di ciascuna campana, come esplicitamente si sviluppavano prima del taglio sui rispettivi appoggi: ogni campana resta così assimilata a una trave imperfettamente incastrata agli estremi, i cui vincoli comportino eventualmente dei cedimenti relativi; l'applicazione successiva delle (84) varrebbe allora già a determinare i momenti incogniti M_i .

Ma la strada che porta direttamente alla equazione dei tre momenti, ha alla base il metodo analitico-gra-

fico; per la sezione sull'appoggio C_m — estrema di destra per la campata $(m-1)^{sim}$, estrema di sinistra per la m^{sim} — potremo infatti scrivere la rotazione β_m pensata al primo modo e la rotazione α_{m+1} pensata invece al secondo modo; per l'unicità della tangente alla linea elastica sull'appoggio, dovrà allora risultare ovviamente:

$$\beta_m = -\alpha_{m+1}.$$

Questa relazione è già sinteticamente l'equazione dei tre momenti, bastando porre in luogo delle rotazioni le loro espressioni in funzione dei momenti M_{m-1} , M_m ed M_{m+1} rispettivamente, perchè si trasformi nella (89).

In tale equazione, i termini B_m^* ed A_{m+1}^* — termini di carico — rappresentano le reazioni dell'appoggio m^{sim} pensato una volta della campata di sinistra una volta di quella di destra, qualora siano caricate dai rispettivi diagrammi semplici dei momenti; i termini:

$$\frac{\gamma_m - \gamma_{m-1}}{l_m} \text{ e } \frac{\gamma_{m+1} - \gamma_m}{l_{m+1}}$$

rappresentano infine, sempre per le due campane continue indipendenti, le rotazioni della sezione sullo stesso appoggio m^{sim} per effetto del cedimento relativo all'appoggio che lo precede e a quello che lo segue.

Per noi questi due termini risultano nulli; è d'altra parte (fig. 59) $M_{m-1} \equiv M_A = 0$, $M_m \equiv M_C$; $M_{m+1} \equiv M_B = 0$; la (89) si semplifica pertanto in quest'altra:

$$(89') \quad 2M_C(l_1 + l_2) = -6(B_1^* + A_2^*),$$

a proposito della quale sarà bene osservare ancora una volta (v. anche gli Ess. 45 e 49) che, stante la supposta rigidezza degli appoggi, il momento M_C è indipendente dalla flesso-rigidezza EJ della trave, e quindi altrettanto è vero per i diagrammi delle caratteristiche della sollecitazione.

Dalla (89') risulta:

$$M_C = -\frac{3}{l_1 + l_2}(B_1^* + A_2^*),$$

la quale fornisce immediatamente M_C una volta noti i termini di carico B_1^* e A_2^* .

Al proposito, il diagramma semplice dei momenti per la prima campata è (fig. 59 b) la bilatera con vertice sulla verticale del carico e, stante la simmetria, altezza $P_1 l_1 / 4$ e quindi chiudente con la fondamentale 1' area:

$$\frac{P_1 l_1}{4} \times \frac{l_1}{2} = \frac{P_1 l_1^2}{8} .$$

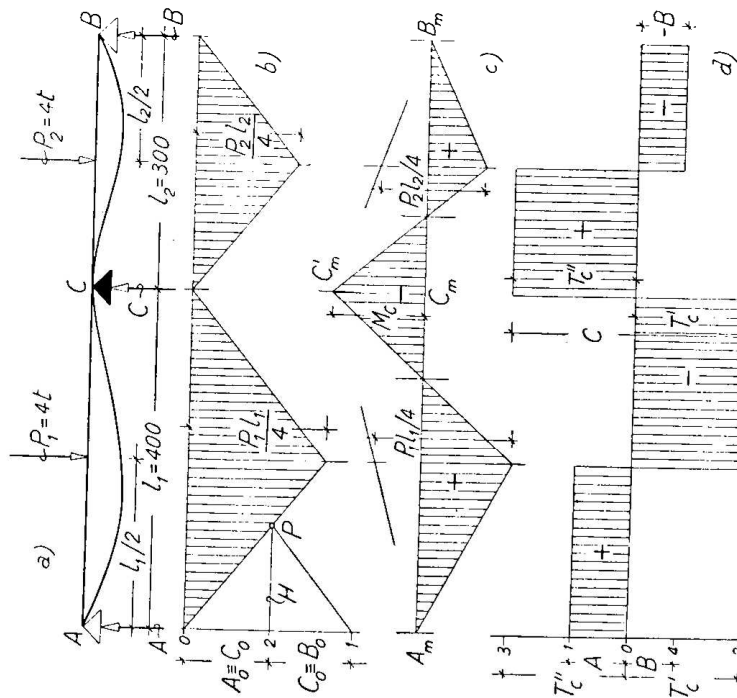


Fig. 59
e quindi sostituen-
do e di seguito coi nostri dati:

$$M_C = -\frac{3}{l_1 + l_2} \times \frac{1}{16} (P_1 l_1^2 + P_2 l_2^2) = -\frac{3}{(3+4) 16} (4 \times 16 + 4 \times 9) \cong -2,68 \text{ tm.}$$

Per tracciare il diagramma dei momenti flettentii, basta ora riportare sulla verticale dell'appoggio C a partire da una fondamentale arbitraria $A_m B_m$ (fig. 59 e) il segmento $\overline{C_m C_m}$ che, nella scala H pari alla distanza polare con la quale si sono costruiti i diagrammi semplici dei momenti, rappresenti M_C , e sovrapporre quindi alla bilatera $A_m C_m B_m$ le superficie semplici dei momenti costruite.

Il diagramma del taglio potrebbe ora dedursi per derivazione da quello dei momenti così determinato; si

può però anche costruire direttamente, determinando per via analitica le reazioni degli appoggi.

Nel caso generale, il taglio T''_m nella sezione a destra dell'appoggio m^{simo} può infatti valutarsi prendendo i momenti intorno all'appoggio $(m+1)^{\text{simo}}$:

$$(90) \quad M_{m+1} = M_m + T''_m l_{m+1} + \partial\tilde{\ell}_{m+1} .$$

nella quale $\partial\tilde{\ell}_{m+1}$ è il momento rispetto al detto appoggio del carico insistente sulla campata $(m+1)^{\text{simo}}$.

Partendo nel caso nostro dall'appoggio A , per modo che:

$$T'_A \equiv A ; \quad M_m \equiv M_A = 0 ; \quad M_{m+1} \equiv M_C ; \quad l_{m+1} \equiv l_1 ;$$

$$\partial\tilde{\ell}_{m+1} = - \frac{P_1 l_1}{2} = - 4 \times 2 = - 8 \text{ tm} = - 800 \text{ tcm} ,$$

risulta:

$$A = \frac{M_C - \partial\tilde{\ell}_{m+1}}{l_1} = \frac{- 268 + 800}{400} \cong 1,33 \text{ t} ;$$

per l'appoggio C invece, essendo ora:

$$M_m \equiv M_C , \quad M_{m+1} \equiv M_B = 0 , \quad l_{m+1} = l_2 , \\ \partial\tilde{\ell}_{m+1} = - \frac{P_2 l_2}{2} = - 4 \times 1,5 = - 6 \text{ tm} = - 600 \text{ tcm} ,$$

risulta:

$$T'_C = \frac{- M_C - \partial\tilde{\ell}_{m+1}}{l_2} = \frac{268 + 600}{300} \cong 2,89 \text{ t} .$$

Il taglio T'_m nella sezione immediatamente alla sinistra di C_m può ora determinarsi o allo stesso modo prendendo i momenti intorno all'appoggio C_{m-1} , ovvero imponendo l'equilibrio alla traslazione verticale per la campata di sinistra; così per T'_C risulta subito:

$$T'_C = A - P_1 = 1,33 - 4 = - 2,67 \text{ t} ;$$

e per $T'_B \equiv B$ quest'altra:

$$T'_B \equiv B = T''_C - P_2 = 2,89 - 4 = - 1,11 \text{ t} .$$

Imponendo allora l'equilibrio alla traslazione verticale per la campata infinitesima che si ottiene coi due tagli adiacenti, dalle due parti, all'appoggio C :

$$T'_C + C = T''_C ,$$

resta determinata anche la reazione C :

$$C = T''_C - T'_C = 2,89 + 2,67 = 5,56 \text{ t} .$$

Una volta noti questi elementi, il diagramma del taglio (fig. 59 d) si costruisce direttamente.

Esercizio 51 — Una trave continua a tre campane è gravata: in quella centrale, di luce $l = 5 \text{ m}$, da un carico uniforme $p = 0,5 \text{ t/m}$, in ognuna delle due di riva, di luce comune $l_1 = 3 \text{ m}$, da un carico pure uniforme $p_1 = 0,3 \text{ t/m}$.

Progettare la trave nel modo più economico come NP I, nell'ipotesi che gli appoggi siano rigidi.

—♦—

Per il calcolo di progetto occorre individuare la sezione più cimentata; ciò è come dire, determinare i momenti M_1 ed M_2 sui due appoggi intermedi C_1 e C_2 e costruire quindi il diagramma dei momenti flettenti e del taglio; d'altra parte, bastando di solito, come si è avuto altrove occasione di avvertire, dimensionare ala flessione, potremmo anche omettere la costruzione del diagramma del taglio.

Per l'ipotesi della rigidezza degli appoggi ed essendo $M_A = M_B = 0$, le equazioni dei momenti (89) che valgono a determinare le due incognite iperstatiche M_1 ed M_2 si riducono, come è facile verificare, alla forma semplice:

$$(91) \quad \begin{aligned} 2(l_1 + l) M_1 + l M_2 &= - 6(B_{\cdot 1}^* + A_{\cdot 2}^*) , \\ l M_1 + 2(l + l_1) M_2 &= - 6(B_{\cdot 2}^* + A_{\cdot 3}^*) , \end{aligned}$$

in cui, non figurando i termini contenenti i cedimenti

relativi, non figura nemmeno la flessione rigidezza EJ della trave.

Quanto ai termini di carico, essendo le superficie semplici dei momenti dei segmenti di parabola di frecce $p_i l_i^2/8$ per le due campane di riva e $p^2/8$ per quella centrale e quindi di area rispettivamente:

$$Q_1 = \frac{2}{3} \times \frac{1}{8} p l_i^2 \times l_i = \frac{1}{12} p_i l_i^3, \quad Q = \frac{1}{12} p l^3,$$

risulta in modo ovvio:

$$B^*_4 = A^*_3 = \frac{1}{2} Q_1 = \frac{1}{24} p_i l_i^3, \quad A^*_{\frac{1}{2}} = B^*_{\frac{3}{2}} = \frac{1}{2} Q = \frac{1}{24} p l^3.$$

Sostituendo nelle due equazioni sopra scritte, si riconosce subito che i loro secondi membri risultano uguali e precisamente pari ciascuno a:

$$\frac{1}{4} (p_i l_i^3 + p l^3).$$

Uguagliando allora i primi membri, ne risulta con facili trasformazioni e com'era del resto prevedibile per ragioni di simmetria:

$$M_1 = M_2.$$

Da una qualunque delle due equazioni si trae allora:

$$M_1 (2 l_i + 3 l) = - \frac{1}{4} (p_i l_i^3 + p l^3)$$

da cui:

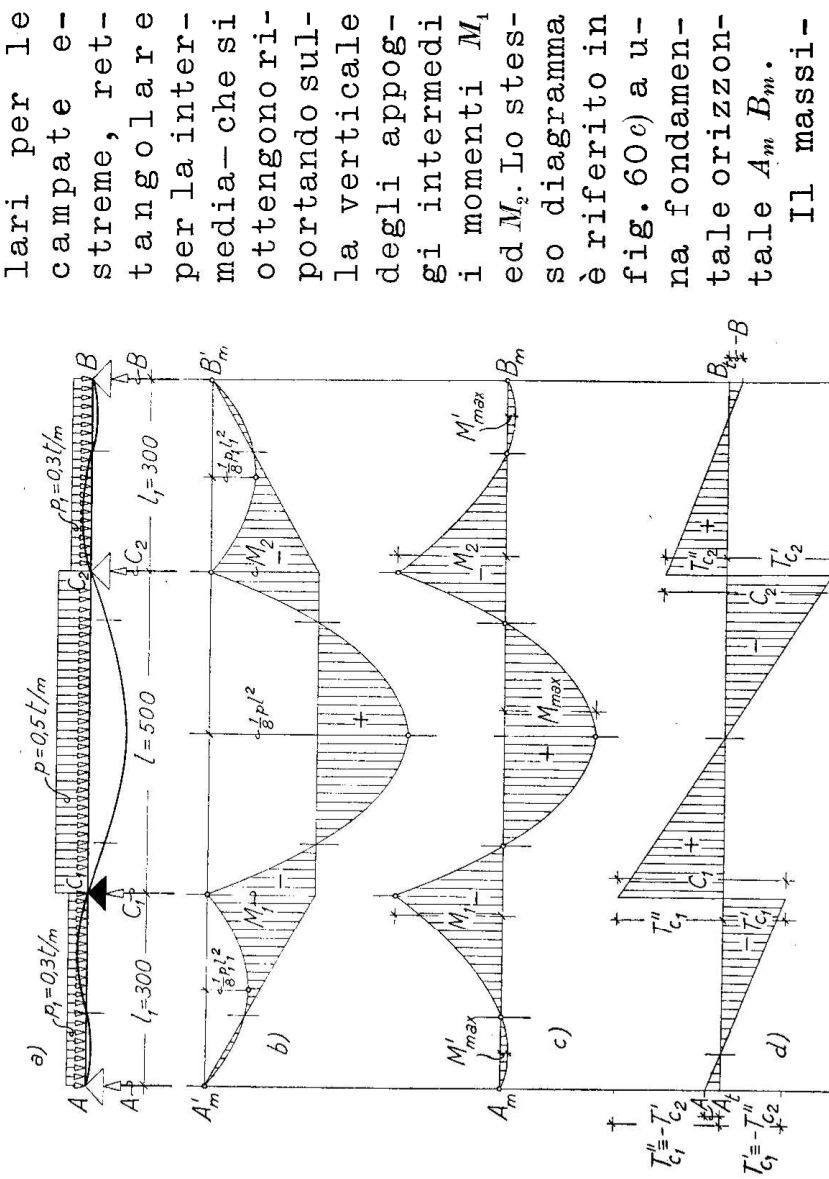
$$M_1 = M_2 = - \frac{1}{4} \frac{p_i l_i^3 + p l^3}{2 l_i + 3 l},$$

e coi dati numerici:

$$M_1 = - \frac{1}{4} \frac{0,3 \times 27 + 0,5 \times 125}{6 + 15} = - 0,84 \text{ tm}.$$

Il diagramma dei momenti flettenti risulta allora

(fig. 60 b)) sovrapponendo alle superficie dei momenti negativi-triangolari, le superficie dei momenti semplici dei momenti, le campate estreme, rettangolari per le campate estreme, relative per la intermedia che si ottengono riportando sulla verticale degli appoggi intermedi M_1 ed M_2 . Lo stesso diagramma è riferito in fig. 60c) a una fondamentale orizzontale $A_m - B_m$.



Il momento positivo si verifica in mezzeria della campata centrale e vale:

$$M_{\max} = \frac{1}{8} p l^2 + M_1 = \frac{1}{8} 0,5 \times 25 - 0,84 = + 0,7225 \text{ t}_m .$$

Per tracciare il diagramma del taglio, basta calcolare, col procedimento già visto all'Esercizio precedente, i tagli immediatamente a sinistra e a destra degli appoggi.

Così per i tagli nelle sezioni estreme della prima campata è rispettivamente di seguito:

$$A = \frac{p_1 l_1}{2} + \frac{M_1}{l_1} = \frac{0,3 \times 3}{2} - \frac{0,84}{3} = + 0,17 \text{ t}$$

$$T'_{C_1} = - p_1 l_1 + A = - 0,3 \times 3 + 0,17 = - 0,73 \text{ t} .$$

Per ragioni di simmetria è poi nella campata di destra:

$$B = -A = -0,17 \text{ t} ; \quad T''_{C_2} = -T'_{C_1} = +0,73 \text{ t} ;$$

e ancora, per la campata centrale:

$$T''_{C_1} = -T'_{C_2} = \frac{pl}{2} = \frac{0,5 \times 5}{2} = +1,25 \text{ t} .$$

Giacchè nelle singole campate il taglio varia linearmente, i valori ora trovati bastano per il tracciamento del diaogramma (fig. 60 d).

Si riconosce dopo di ciò che le sezioni più cimate sono quelle della campata centrale adiacenti agli appoggi, sezioni che sopportano il momento flettente comune $M_1 = M_2 = -0,84 \text{ tm}$, massimo in valore assoluto, e anche il massimo taglio $T''_{C_1} = -T'_{C_2} = 1,25 \text{ t}$.

Dimensionando alla flessione, la relativa equazione di stabilità porta ad adottare come minimo profilo a I per cui è $W_x \geq M_{\max} : k = 84:1 = 84 \text{ cm}^3$, il NPI 160, che possiede un $W_x = 117 \text{ cm}^3$. Il non trascurabile ecces- so di questo modulo su quello strettamente necessario, assicura con certezza la stabilità anche alla sollecita- zione composta di flessione e taglio, e possiamo perciò risparmiarcene la verifica.

Esercizio 52 — Una trave continua su quattro appoggi con le campe di riva di luce $l_1 = 4 \text{ m}$, quella centrale di luce $l = 6 \text{ m}$, è costituita da un NPI 240. Costruirvi i diagrammi delle caratteristiche della sollecitazione e verificarne la stabilità per $k = 1,2 \text{ t/cm}^2$, nell'ipotesi che sia gravata da un carico concentrato $P = 1 \text{ t}$ in mezzeria della prima campata e che l'appoggio intermedio C_2 subisca un cedimento $\eta = 5 \text{ mm}$. Si assuma $E = 2100 \text{ t/cm}^2$.

Le due equazioni (91) dei tre momenti scritte all'Esercizio precedente per una trave nelle analoghe condizioni di vincolo di quella in esame, per essere ora manifestamente $A_{z_2}^* = B_{z_2}^* = A_{z_3}^* = 0$ e tenendovi conto in più

del cedimento η al modo previsto dalla forma generale (89), divengono ora (fig. 61):

$$(92) \quad \begin{aligned} 2(l_1 + l) M_1 + l M_2 &= -6 B^*_1 - 6 EJ \frac{\eta}{l} \\ l M_1 + 2(l + l_1) M_2 &= +6 EJ \frac{l_1 + l}{l} \end{aligned}$$

Risolvendo questo sistema ad esempio col metodo di sostituzione, è facile riconoscere che esso ammette per $M_1 \in M_2$ le soluzioni:

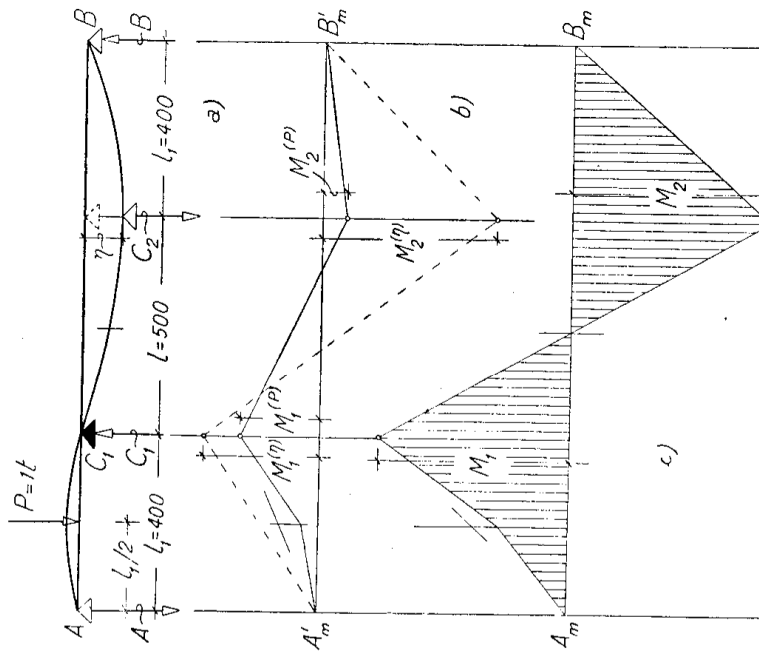


Fig. 61

ne di carico B^*_1) e del cedimento η . Poichè, come già noto dall'Esercizio 50, è $B^*_1 = P l_1^2 / 16$, sostituendo i dati numerici, fra cui (cfr. il Manuale) $J_x = 4240 \text{ cm}^4$, si perviene per M_1 ed M_2 ai seguenti valori:

$$M_1 = -36,12 - 52,26 = -88,38 \text{ tcm}$$

$$M_2 = +10,03 + 81,30 = +91,33 \text{ ,}$$

dove abbiamo continuato a distinguere anche numericamente i due contributi di P e di η . Per rendere più

che mai manifesti questi due contributi, in figura 61 b) sono stati costruiti rispetto a una stessa fondamenta-
le $A'_m B'_m$ il diagramma del momento conseguente alla so-
la presenza di P (a tratto continuo) e quello conse-
guente al solo cedimento η ; in figura 61 c) è invece co-
struito il diagramma risultante dei due, in relazione
al quale è indicato in figura 61 a) l'andamento della
linea elastica della trave.

Sarebbe ora immediato dedurre da questo diagramma
quello del taglio, o per derivazione, ovvero col pro-
cedimento già seguito ai due Esercizi precedenti, de-
terminando cioè i tagli immediatamente a sinistra e a
destra degli appoggi; all'uopo sono indicati in figura
61 a) i sensi che hanno le varie reazioni.

Per quanto riguarda poi la stabilità, questa è sen-
z'altro verificata, in quanto il momento massimo in va-
lore assoluto è $M_s = 91,33 \text{ tcm}$ mentre il N.P.T. 240 ha un
modulo $W_x = 353 \text{ cm}^3$: il largo margine che tale valore
contiene nei confronti di quello strettamente neces-
sario è sufficiente ad assorbire con larghezza anche
il taglio che abbiamo fin qui trascurato.

C - TRAVI GERBER O A MENSOLA

Esercizio 53 — Progettare la trave con lo stesso schema e sotto le
stesse condizioni di carico di cui all'Esercizio 51, nell'ipotesi che si vo-
glia realizzarla come trave Gerber con due cerniere nella campata cen-
trale distanti dagli appoggi di $0,96 \text{ m}$.

È noto che la trave Gerber può pensarsi derivare da
una ordinaria trave continua rendendola staticamente
determinata mediante la disposizione opportuna di un
certo numero di cerniere: e precisamente tante quante
sono le incognite iperstatiche che presenta la trave
continua e disposta in modo che non vi siano più di due
appoggi fra due appoggi consecutivi.